

MAPA GEOLOGICO DE ESPAÑA

ESCALA 1:50.000

**INFORME COMPLEMENTARIO DE TECTONICA
DE LA HOJA
561 (21-22)
PASTRANA**

**AUTOR:
D. MARTIN HERRERO (INTECSA)
Mayo, 1.991**

INDICE

1.- TECTONICA

- 1.1.- DOMINIOS ESTRUCTURALES
- 1.2.- ESTUDIO MICROESTRUCTURAL

GRAFICOS

- PROYECCION DE PLANOS DE FRACTURAS Y DIACLASAS
- DIAGRAMAS EN "ROSA"

PLANO DE SITUACION DE ESTACIONES

1.- TECTONICA

La presente Hoja se encuadra dentro del sector occidental de la Rama Castellana de la Cordillera Ibérica.

Dicha Cordillera, corresponde a una cadena de tipo intermedio que presenta dos dominios estructurales, el zócalo y la cobertura, ambos bien diferenciados, que condicionan su estilo tectónico. El zócalo está constituido por metasedimentos hercínicos y la cobertura por materiales que se depositaron desde el Triás y el Terciario. Entre ambos dominios se encuentran los materiales triásicos que actúan como un nivel de despegue, dada la naturaleza plástica de algunos de sus tramos (JULIVERT, et al 1974).

En esta Hoja de Pastrana solo afloran materiales terciarios y de estos, los más abundantes corresponden a los del Neógeno que se encuentran con escasa deformación y estratificación general subhorizontalizada. Para los sedimentos paleógenos-neógenos ubicados en el borde suroriental, se manifiesta una ligera deformación de flexión y fractura como corresponde a un área próxima a los relieves mesozoicos que configuran la Sierra de Altomira, situada en la hoja limítrofe al E de la que nos ocupa.

1.1.- Dominios estructurales

La superficie cartográfica de esta hoja, se encuentra incluida en el Dominio estructural de la Fosa del Tajo.

La Fosa del Tajo está constituida, en este área, por un relleno de sedimentos paleogeno-neógenos y neógenos de origen continental que están ligados a la evolución tectónica de la Cordillera Ibérica, Sistema Central y Sierra de Altomira, en cuyo borde se localiza esta Hoja.

Son diversas las discordancias existentes que se inician aquí con una discordancia angular entre las subunidades 1 formada por arcillas y areniscas y la 3 constituida por arcillas yesíferas y yesos. El conjunto, perteneciente al paleógeno-neógeno, forma el anticlinal de Sayatón única estructura apreciable en toda la hoja, que con dirección N-S tiene una longitud de traza axial visible de 3,5 Km.

La deformación continuo durante el Paleógeno-neógeno, tal como queda constancia por la existencia de una discordancia angular entre la subunidad 3 y la primera del Neógeno.

Dentro del Neógeno aparecen dos paraconformidades entre las subunidades neógenas 1 y 2 y las 2 y 3 (Cuadro nº 2).

La Hoja de Pastrana, se encuentra dentro del contexto general de este Dominio, por lo que la interpretación de sus estructuras esta interrelacionada con todo el área en el que se incluye.

Las interpretaciones realizadas por diversos autores sobre estas deformaciones, fueron analizadas por MARTIN ESCORZA, C. 1983, y sintetizadas en tres tendencias. Estas son:

- Estructuras de origen atectónico relacionadas con hundimientos motivados por disolución de yesos.
- Estructuras que deben su origen a una deformación generalizada, por lo menos para la Meseta Sur y que corresponde a la fase Rodánica.
- Estructuras formadas por mecanismos de reajuste o adaptación de la cobertura a ciertos movimientos a lo largo de fracturas preexistentes.

Por otra parte, este mismo autor, propone un modelo en el que se origina un mecanismo de causa-efecto sobre los yesos, que a su vez, son los que dan lugar a las estructuras existentes en los sedimentos suprayacentes. El reajuste continuo de los bloques de la placa Ibérica originaría débiles movimientos en la delgada capa constituida por los sedimentos neógenos y cuaternarios.

En síntesis se trataría de una reactivación de las fracturas del basamento que activaría los niveles de yesos y que a su vez generarán reajustes en los sedimentos suprayacentes que llevarían unidos procesos de disolución de yesos.

Dentro del área aquí estudiada, se puede observar la existencia de una fracturación del basamento, deducida por las actuales direcciones del encajamiento de los cursos de agua.

Con dirección general NE-SO los Ríos Tajuña y Tajo y el Arroyo Arlas, afluente de este último, delimitan tres zonas, de las cuales, la central, presenta un mayor grado de deformación que las colindantes.

Esta zona tiene su prolongación hacia el Sur dentro de la Hoja nº 584 (Mondéjar), en donde se citan fracturas entre formaciones neógenas con igual dirección general y saltos de hasta 20 m.

Dentro de este pasillo, se ha podido observar la existencia de una fracturación y replegamiento más desarrollado en el SO (área de Mondéjar y Zona Suroccidental de la Hoja de Pastrana), que en el NE (área de Hueva - El Mochón).

La existencia de numerosas dolinas alineadas, en el área suroccidental de la Hoja, se interpretan como procesos de disolución ligados a asentamiento de materiales en fallas reactivadas del basamento.

Por todo ello, consideramos que en este área se producen reajustes de los materiales a causa de los movimientos de las fallas preexistentes. Los sedimentos en los que quedan reflejados estos movimientos son los tramos más superficiales de naturaleza carbonatada, en los que se manifiesta un replegamiento suave, al mismo tiempo que tienen lugar procesos de disolución de yesos y calizas. Todo el conjunto presenta un basculamiento generalizado hacia el SO.

En toda la hoja se observa un buzamiento generalizado menor de 22º pero que en puntos aislados alcanzan los 60º. Estas últimas medidas corresponden a bloques separados de los tramos calizos y a su vez movidos a favor de las laderas.

1.2.- Estudio microestructural

Se ha realizado el estudio detallado de la fracturación y diaclasamiento en distintos puntos de la Hoja.

En el Cuadro nº 2.1 se sintetizan las direcciones máximas reflejadas en los correspondientes diagramas en rosa realizados y los buzamientos máximos de los planos

ESTACION Nº	LOCALIDAD	DIRECCION MAXIMO	BUZAMIENTO MAXIMO
1	VALDEALCALA	N 160-180º E	70 - 80º N
2	FUENTENOVILLA	N 40-50º E	80 - 90º N
3	ESCOPETE PK 87	N 30-40º E	70 - 80º N
4	SAYATON	N 0-10º E N 170-180º E	80 - 90º S
5	ESCOPETE	N 110-120º E	80 - 90º N 70 - 80º S
6	PASTRANA	N 80-90º E N 110-120º E	80 - 90º S
7	HUEVA	N 70-80º E	80 - 90º N
8	MOCHON-LA NAVA	N 150-160º E	80 - 90 S
9	LORANCA	N 60-70º E	80 - 90º S

CUADRO Nº 2-1

de fractura del conjunto total de medidas.

En la Figura 2.1 se indica la situación geográfica de dichas estaciones con sus respectivas rosas.

La síntesis general de la fracturación del área corresponde a pequeños movimientos en la vertical, con fracturas diaclasas que presenta un desplazamiento normal con saltos centimétricas a decimétricas.

Para los materiales paleógeno-neógenos (Estación-4), se presentan una dirección preferente entre N 10°E y N 170-180° E. y en segundo lugar otra en un entorno comprendido entre N 140-170° E. El resto se encuentra disperso entre N 40-90° E y N 110-140° E.

Las demás estaciones presentan dos sistemas preferentes, que se pueden agrupar en N 40-80° E y N 110-140° E.

Estos sistemas quedan incluidos dentro de las direcciones generales existentes a nivel regional y sus movimientos indican un asentamiento normal de las capas superficiales de la cobertura terciaria.

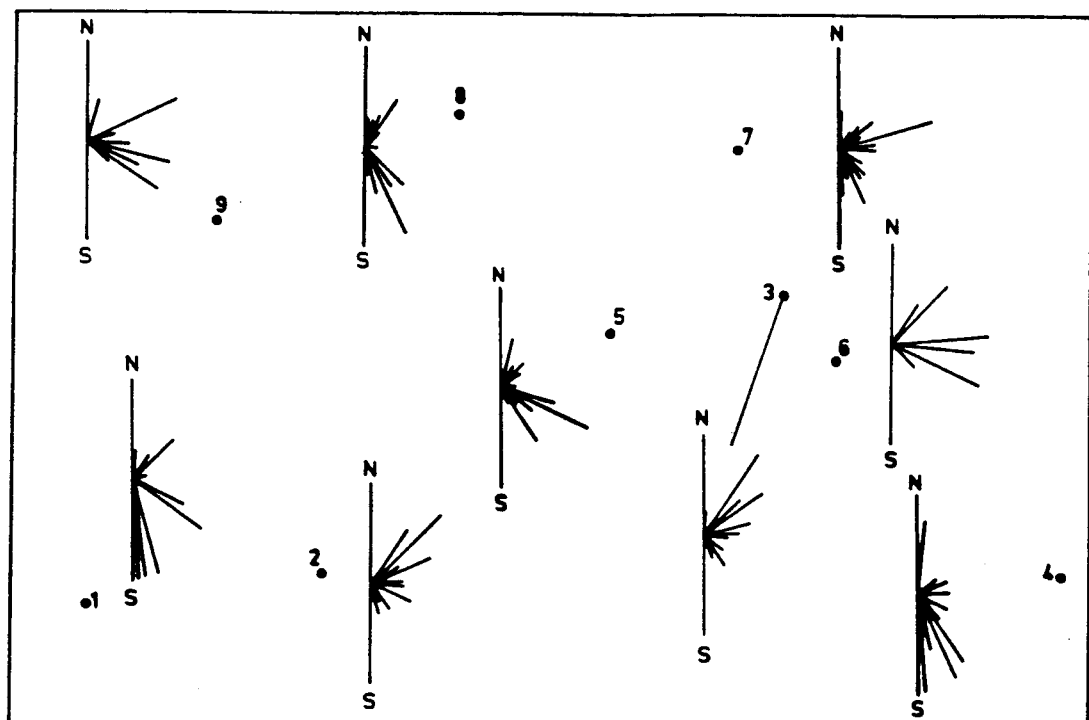


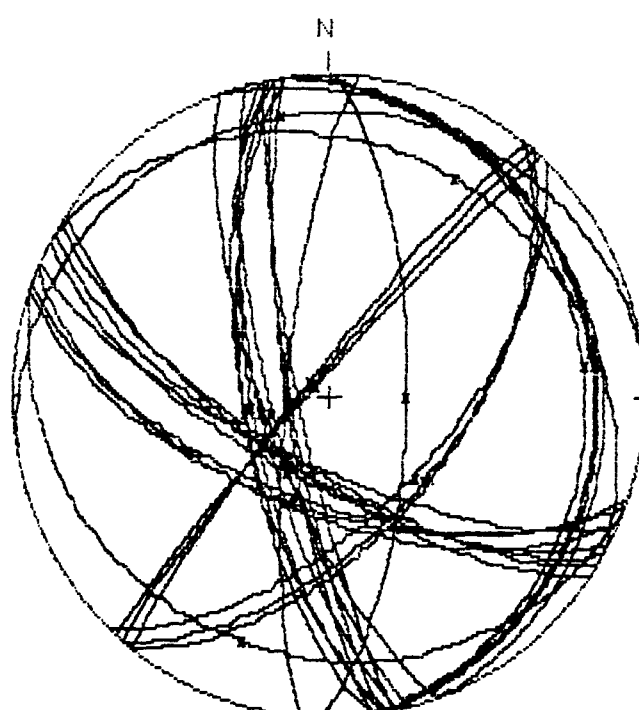
Figura 2.1.- Situación de estaciones y diagramas "en rosa" de las mismas, correspondientes a las direcciones de fracturas y diaclasas medidas. E. 1:200.000

GRAFICAS

PROYECCION DE PLANOS DE FRACTURAS Y DIACLASAS

Valdealcalas

n = 35



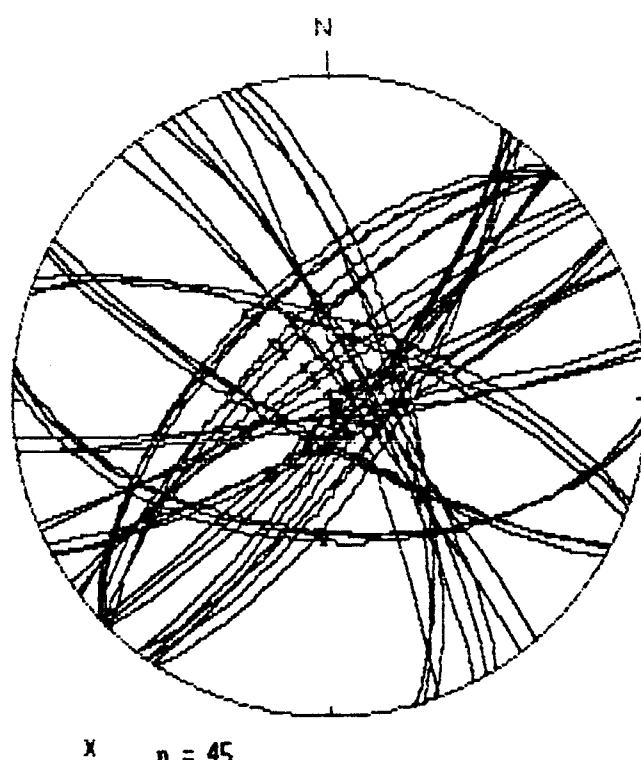
x n = 35

Schmidt net, Upper hemisphere projection

ESTACION N° 1

FUENTENOVILLA:

$n = 45$



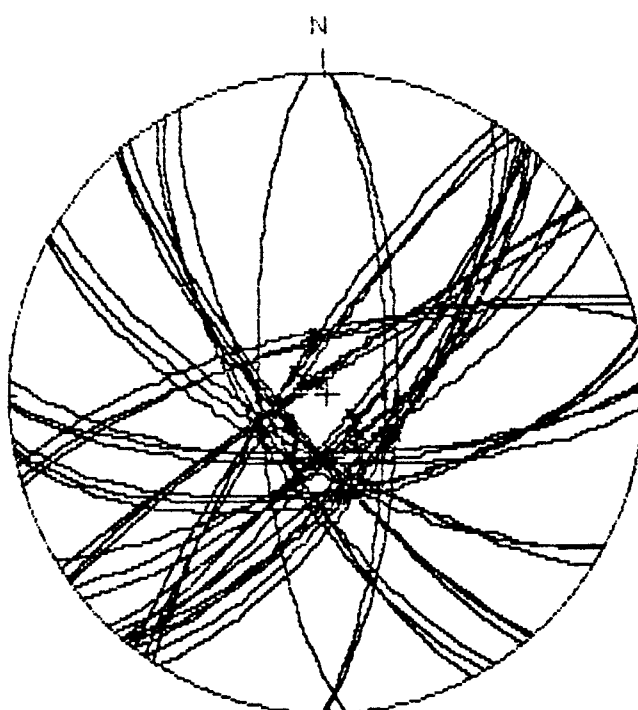
Schmidt net, Upper hemisphere projection

ESTACION N° 2

DESV. ESCOPETE

C.C. 200 PK 87.

n = 39



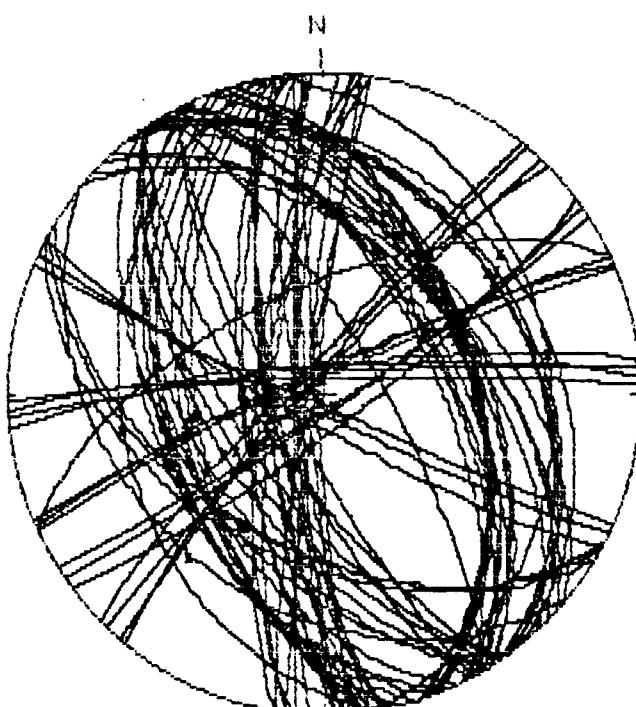
x n = 39

Schmidt net, Upper hemisphere projection

ESTACION N° 3

SAYATON:

$n = 81$



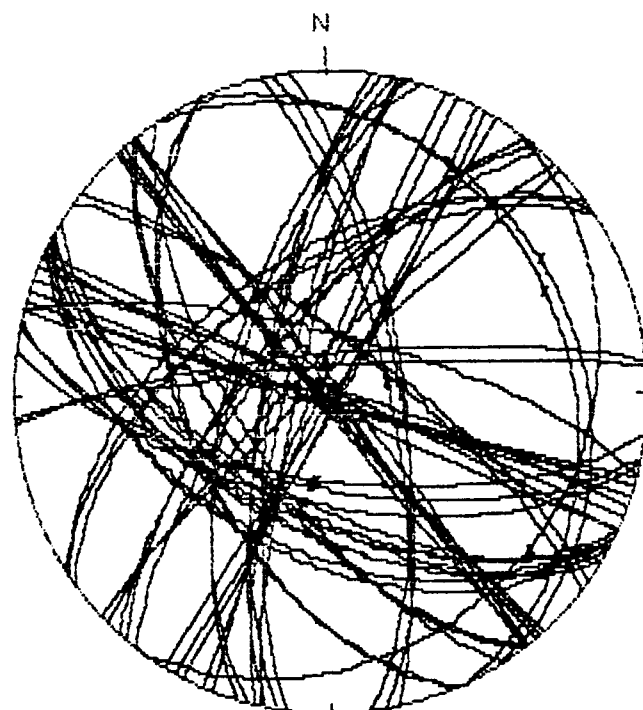
$n = 81$

Schmidt net, Upper hemisphere projection

ESTACION N° 4

ESCOFETE:

$n = 62$



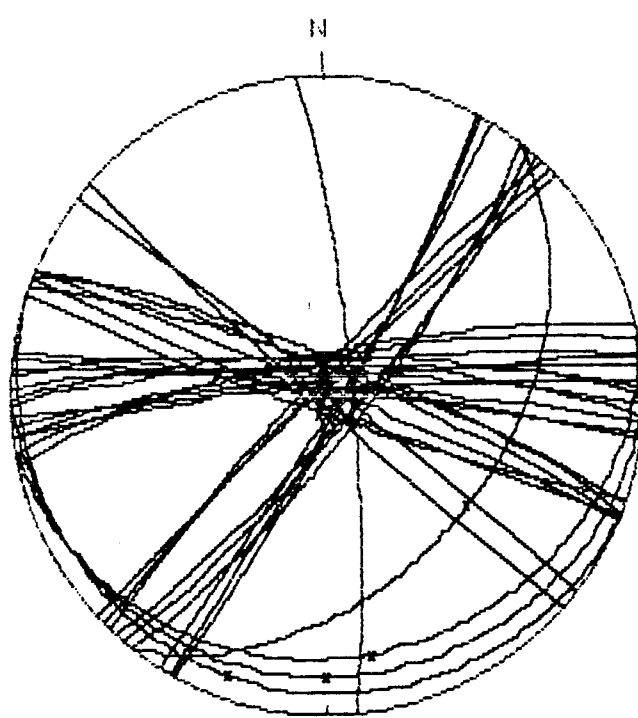
$x \quad n = 62$

Schmidt net, Upper hemisphere projection

ESTACION N° 5

PASTRANA:

$n = 35$



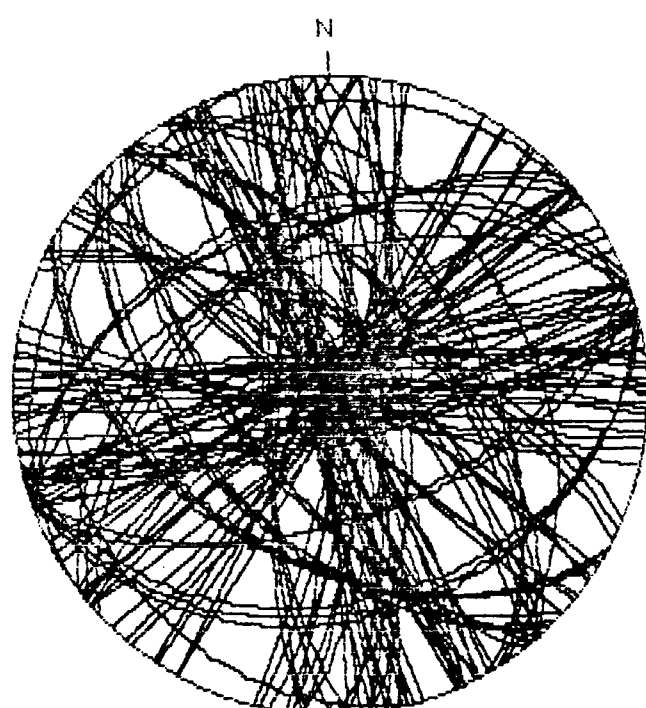
$x \quad n = 35$

Schmidt net, Upper hemisphere projection

ESTACION N° 6

HUEVA C.C. 200 PK 103,5

n = 135



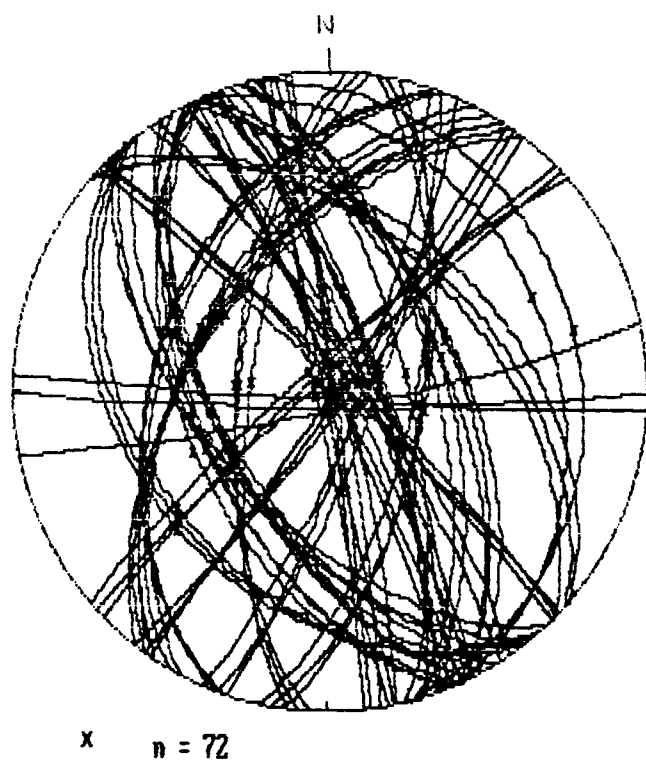
x n = 135

Schmidt net, Upper hemisphere projection

ESTACION Nº 7

MOCHON-NAVA:

$n = 72$

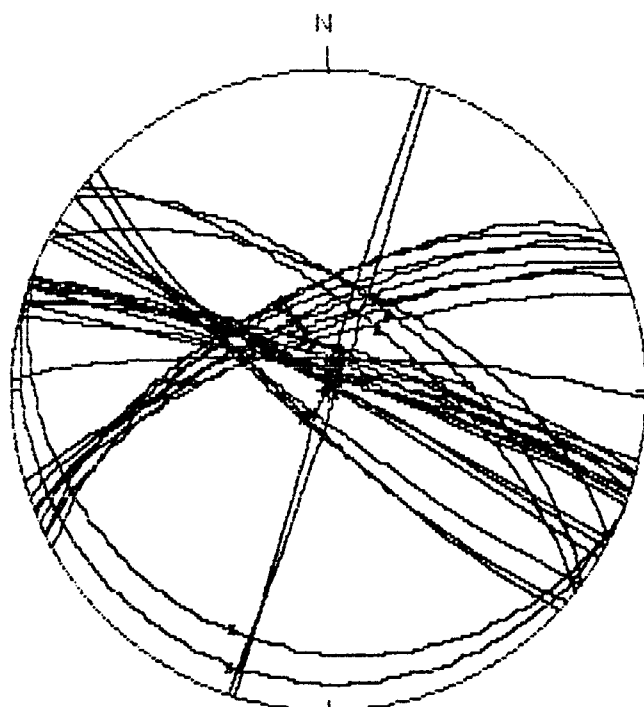


Schmidt net, Upper hemisphere projection

ESTACION N° 8

LORANCA:

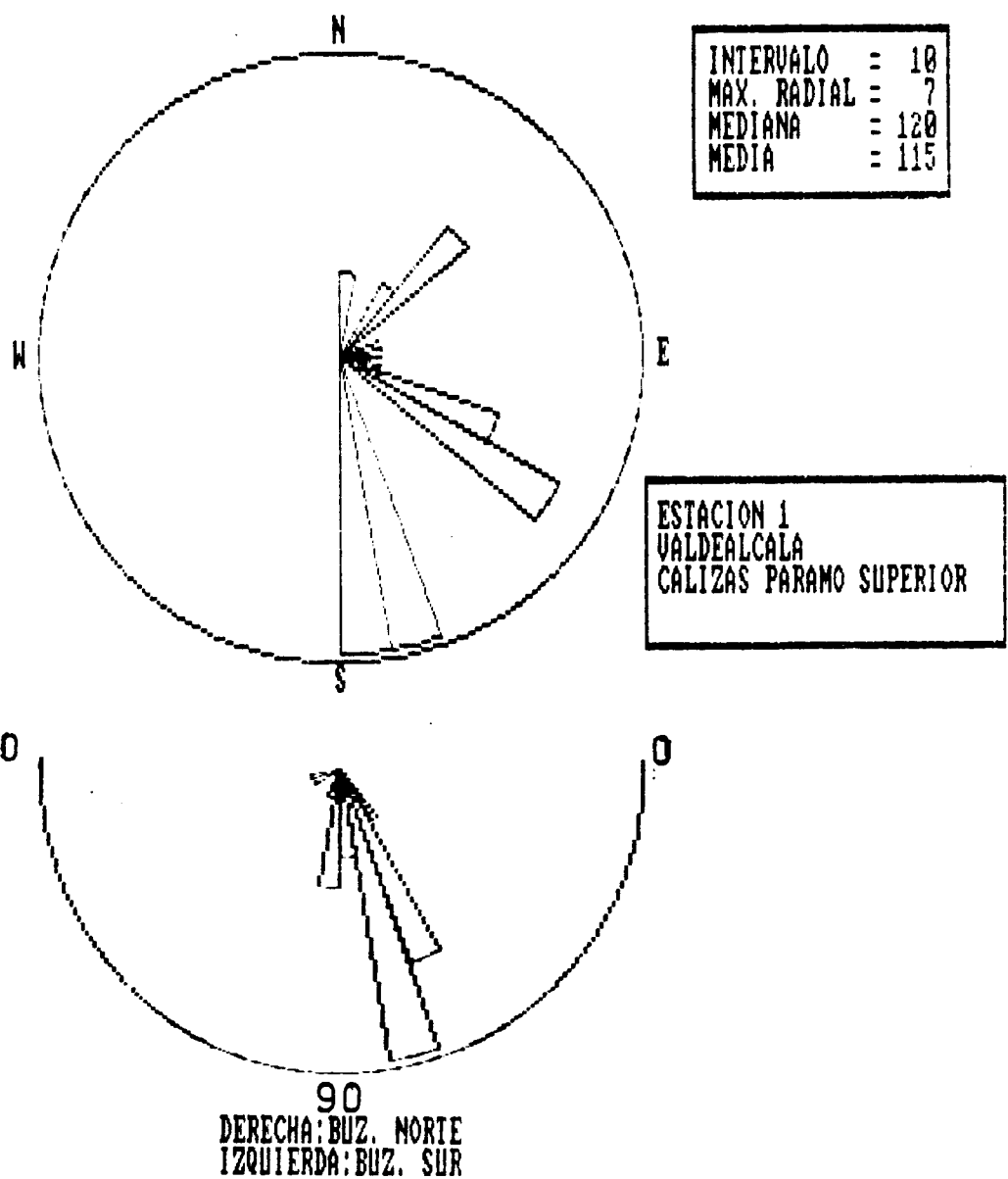
n = 34



Schmidt net, Upper hemisphere projection

ESTACION N° 9

DIAGRAMAS EN ROSA



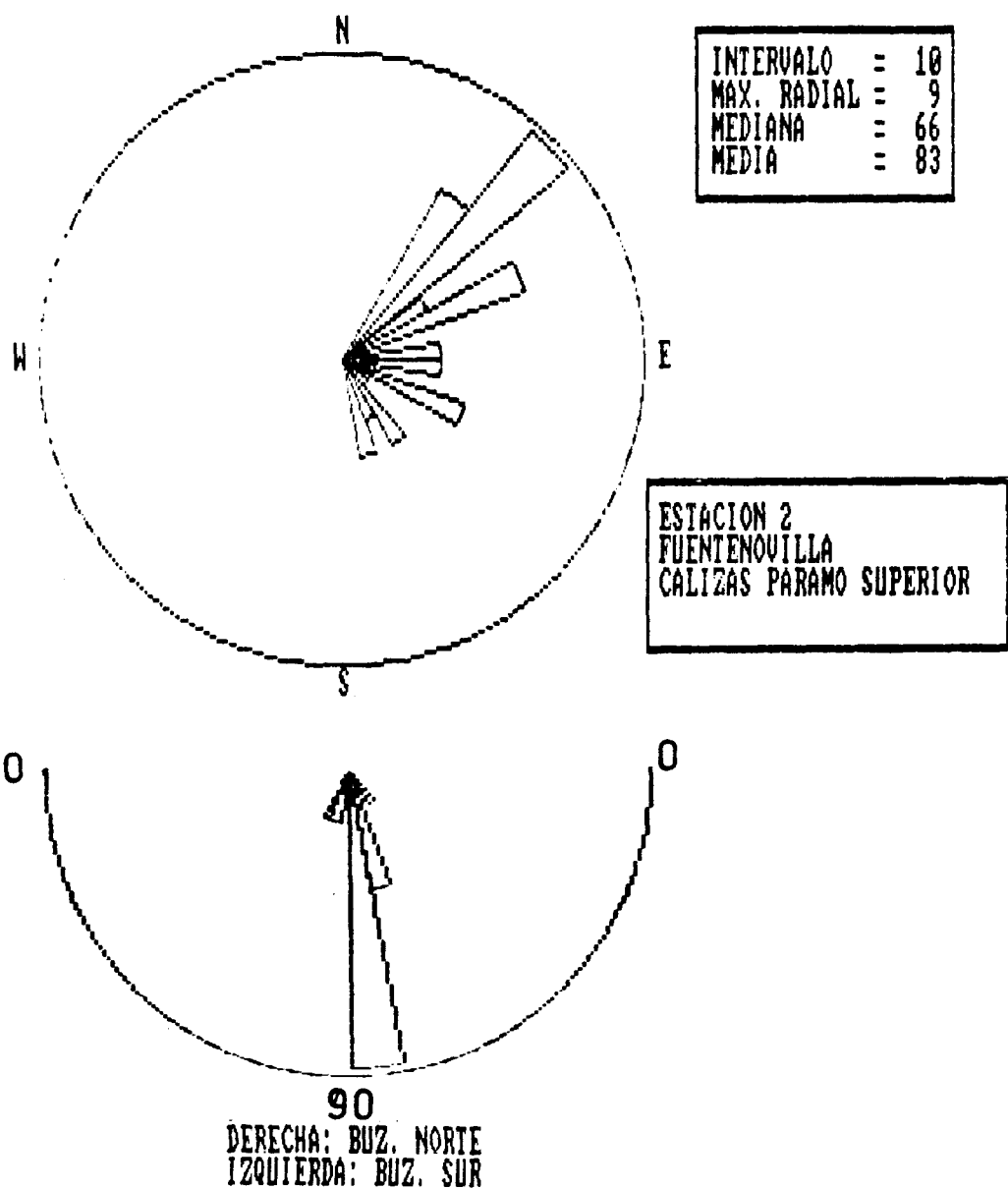
ESTACION N° 1

		INTERVALO	NUMERO DE MEDIDAS
1.	1		
2.	5		
3.	38		
4.	38		
5.	40		
6.	40		
7.	42		
8.	42		
9.	70		
10.	80		
11.	109		
12.	110		
13.	110		
14.	113		
15.	118		
16.	120	0 - 9	2
17.	120	30 - 39	2
18.	120	40 - 49	4
19.	122	70 - 79	1
20.	122	80 - 89	1
21.	124	100 - 109	1
22.	160	110 - 119	4
23.	160	120 - 129	6
24.	165	160 - 169	7
25.	167	170 - 179	7
26.	167		
27.	168		
28.	168		
29.	170		
30.	170		
31.	170		
32.	171		
33.	172		
34.	172		
35.	173		

RELACION DE LAS DIRECCIONES

DE FRACTURAS Y DIACLASAS

ESTACION N° 1



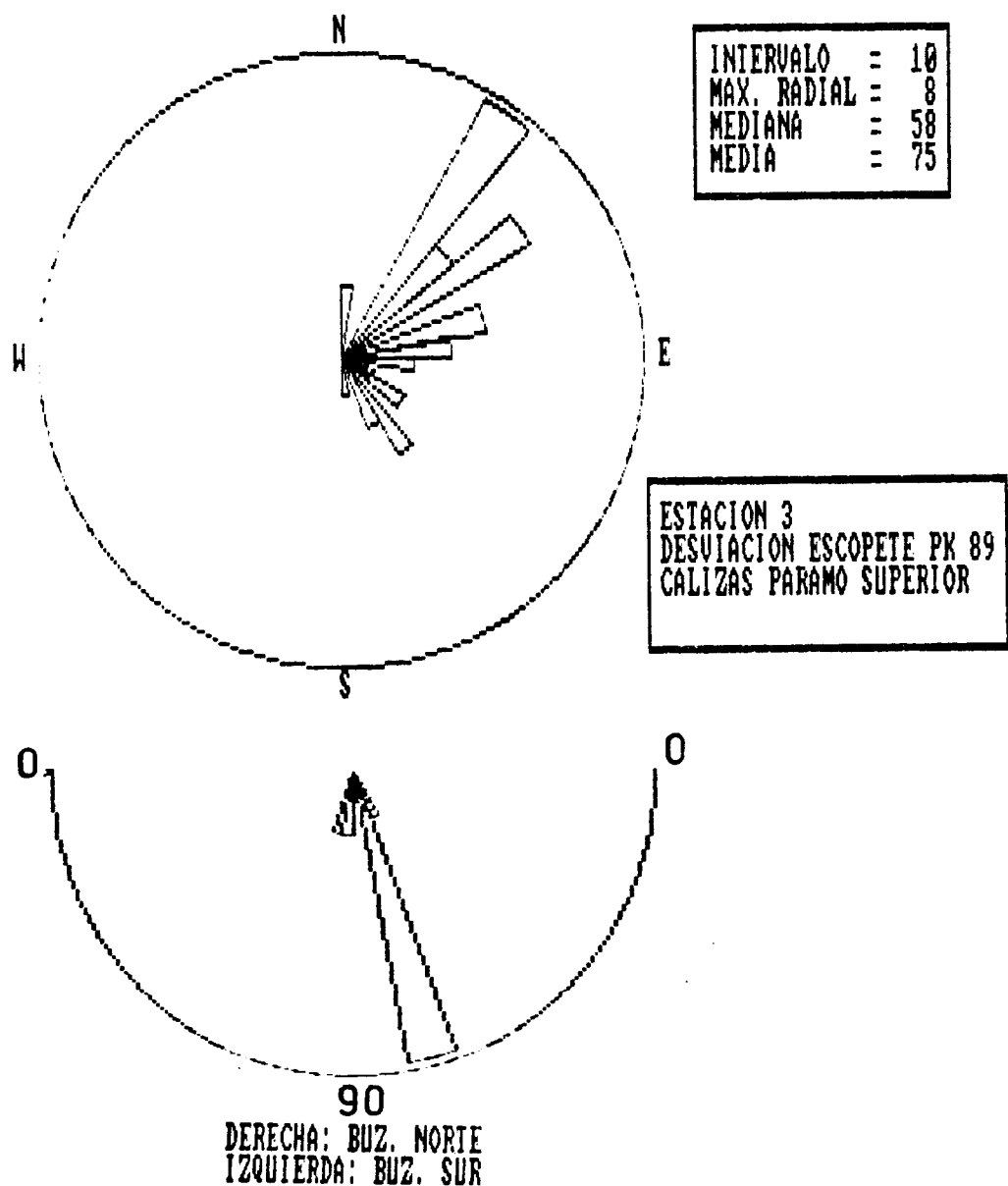
ESTACION N° 2

		INTERVALO	NUMERO DE MEDIDAS
1.	33		
2.	34		
3.	35		
4.	35		
5.	37		
6.	37		
7.	43		
8.	44		
9.	45		
10.	45		
11.	45		
12.	46		
13.	46		
14.	47		
15.	47		
16.	52		
17.	53		
18.	55		
19.	60	30 - 39	6
20.	61	40 - 49	9
21.	63	50 - 59	3
22.	65	60 - 69	6
23.	66	80 - 89	3
24.	67	90 - 99	3
25.	80	100 - 109	1
26.	81	110 - 119	4
27.	83	120 - 129	1
28.	93	130 - 139	1
29.	95	140 - 149	3
30.	96	150 - 159	2
31.	109	160 - 169	3
32.	110		
33.	112		
34.	117		
35.	118		
36.	120		
37.	139		
38.	140		
39.	143		
40.	148		
41.	150		
42.	153		
43.	161		
44.	163		
45.	165		

RELACION DE LAS DIRECCIONES

DE FRACTURAS Y DIACLASAS

ESTACION N° 2



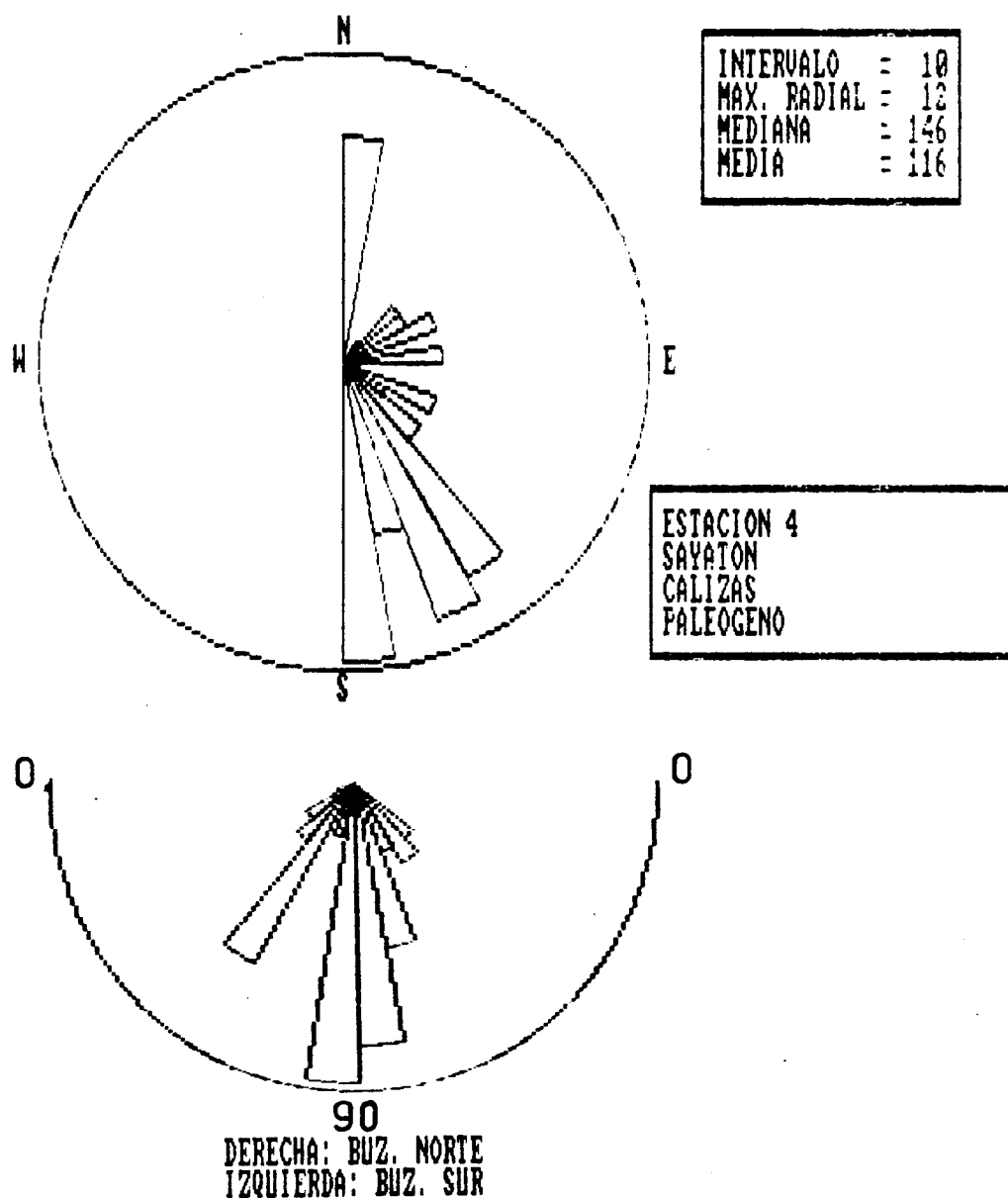
ESTACION N° 3

		INTERVALO	NUMERO DE MEDIDAS
1.	1		
2.	2		
3.	32		
4.	33		
5.	35		
6.	35		
7.	37		
8.	37		
9.	39		
10.	39		
11.	40	0 - 9	2
12.	40	30 - 39	3
13.	42	40 - 49	4
14.	43	50 - 59	6
15.	50	70 - 79	4
16.	53	80 - 89	3
17.	54	90 - 99	2
18.	55	110 - 119	1
19.	57	120 - 129	2
20.	59	130 - 139	1
21.	73	140 - 149	3
22.	75	150 - 159	2
23.	77	170 - 179	1
24.	79		
25.	80		
26.	82		
27.	88		
28.	90		
29.	93		
30.	119		
31.	120		
32.	123		
33.	139		
34.	140		
35.	142		
36.	148		
37.	150		
38.	153		
39.	177		

RELACION DE LAS DIRECCIONES

DE FRACTURAS Y DIACLASAS

ESTACION N° 3



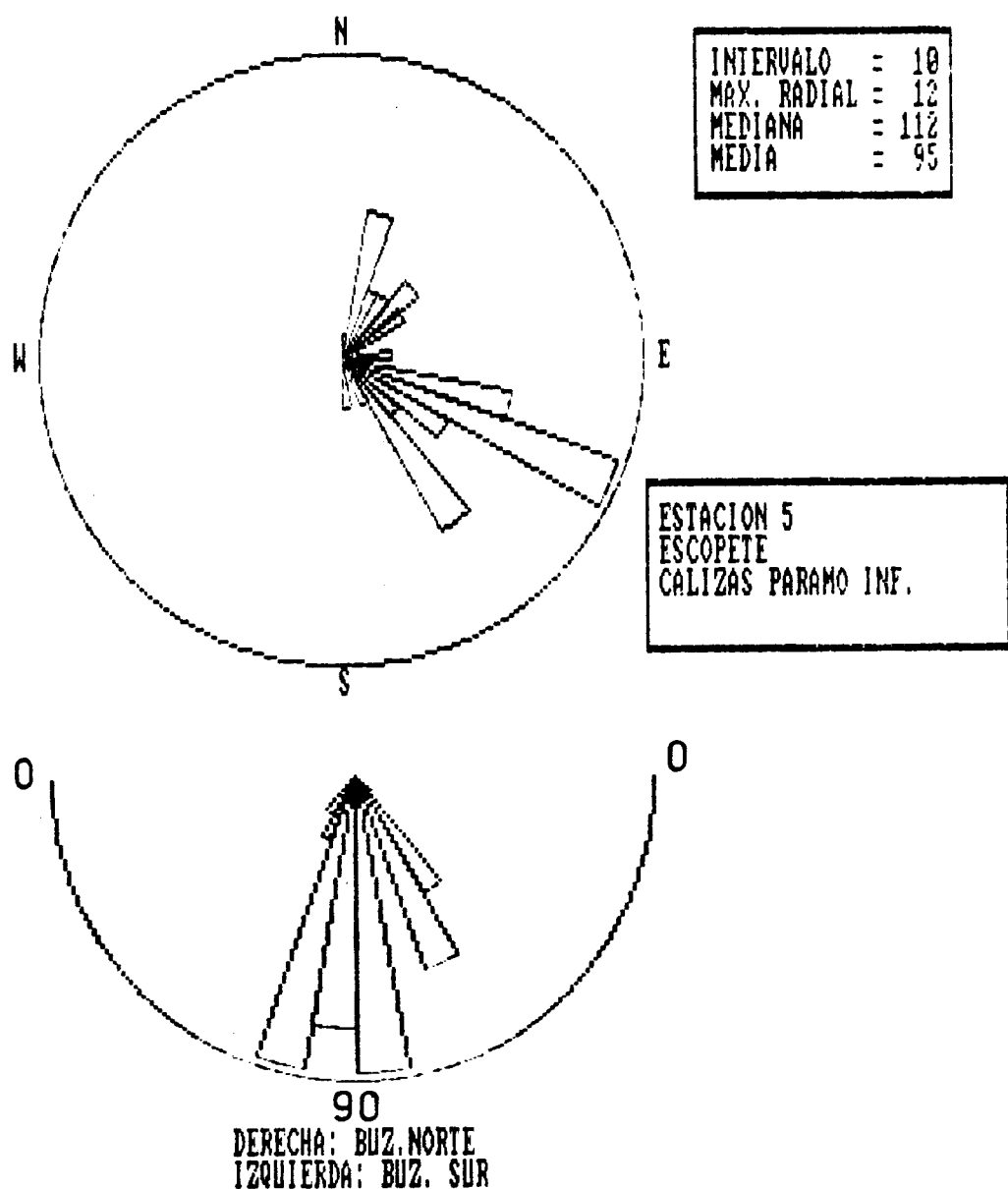
ESTACION N° 4

1.	1	56.	160		
2.	2	57.	160		
3.	3	58.	161		
4.	5	59.	163		
5.	6	60.	163		
6.	7	61.	168		
7.	7	62.	169		
8.	9	63.	170		
9.	9	64.	170		
10.	39	65.	172		
11.	40	66.	172		
12.	43	67.	172		
13.	45	68.	173		
14.	53	69.	174		
15.	55	70.	175		
16.	57	71.	176		
17.	63	72.	176		
18.	65	73.	177		
19.	66	74.	178		
20.	67				
21.	84				
22.	86				
23.	87				
24.	89				
25.	114			INTERVALO	
26.	116			NUMERO DE MEDIDAS	
27.	118	0	—	9	
28.	119	30	—	39	1
29.	120	40	—	49	3
30.	122	50	—	59	3
31.	131	60	—	69	4
32.	133	80	—	89	4
33.	136	110	—	119	4
34.	138	120	—	129	2
35.	142	130	—	139	4
36.	144	140	—	149	10
37.	145	150	—	159	11
38.	146	160	—	169	7
39.	146	170	—	179	12
40.	146				
41.	147				
42.	148				
43.	148				
44.	149				
45.	150				
46.	150				
47.	151				
48.	152				
49.	152				
50.	153				
51.	153				
52.	153				
53.	154				
54.	157				
55.	159				

RELACION DE LAS DIRECCIONES

DE FRACTURAS Y DIACLASAS

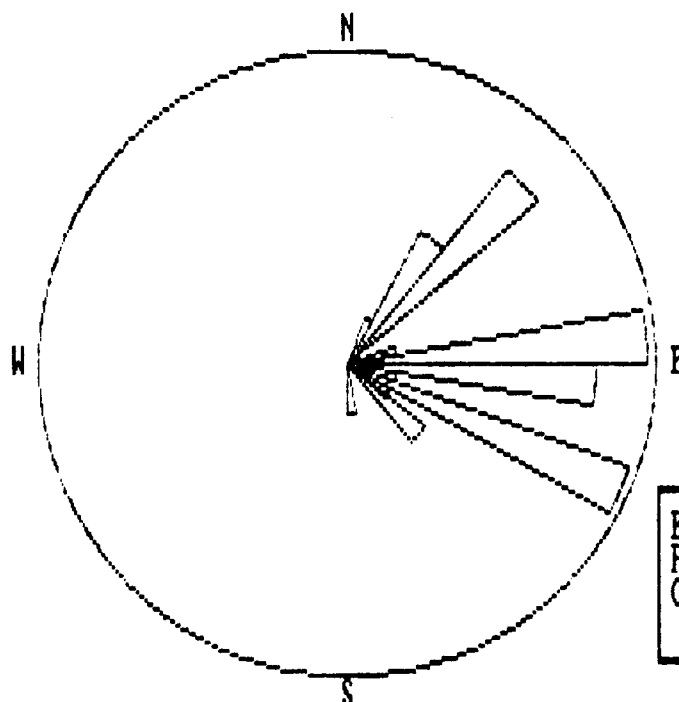
ESTACION N° 4



ESTACION N° 5

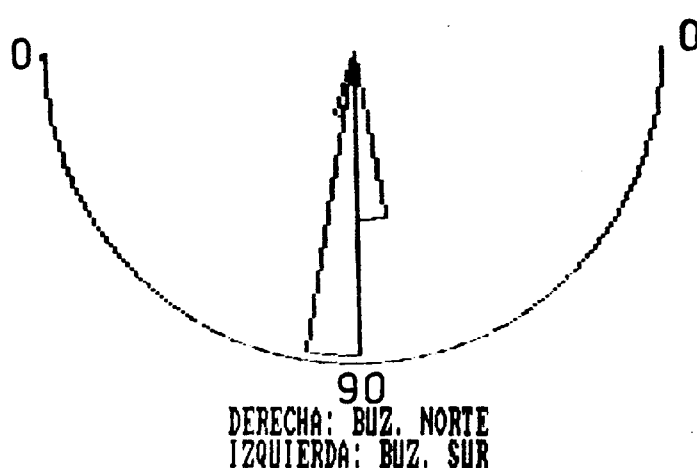
		INTERVALO	NUMERO DE MEDIDAS
1.	8	56. 143	
2.	10	57. 147	
3.	12	58. 156	
4.	13	59. 157	
5.	14	60. 168	
6.	15	61. 170	
7.	17	62. 173	
8.	22		
9.	24		
10.	28		
11.	30		
12.	32		
13.	38		
14.	40		
15.	42		
16.	45		
17.	47		
18.	54		
19.	56		
20.	57	0 - 9	1
21.	85	10 - 19	6
22.	86	20 - 29	3
23.	102	30 - 39	3
24.	103	40 - 49	4
25.	105	50 - 59	3
26.	107	80 - 89	2
27.	107	100 - 109	7
28.	108	110 - 119	12
29.	109	120 - 129	5
30.	110	130 - 139	3
31.	111	140 - 149	8
32.	113	150 - 159	2
33.	115	160 - 169	1
34.	116	170 - 179	2
35.	116		
36.	117		
37.	117		
38.	118		
39.	118		
40.	119		
41.	119		
42.	120		
43.	122		
44.	123		
45.	126		
46.	128		
47.	138		
48.	139		
49.	139		
50.	140		
51.	140		
52.	142		
53.	142		
54.	142		
55.	143		

**RELACION DE LAS DIRECCIONES
DE FRACTURAS Y DIACLASAS
ESTACION N° 5**



INTERVALO	=	18
MAX. RADIAL	=	6
MEDIANA	=	90
MEDIA	=	86

ESTACION 6
PASTRANA
CALIZA PARAMO INFERIOR

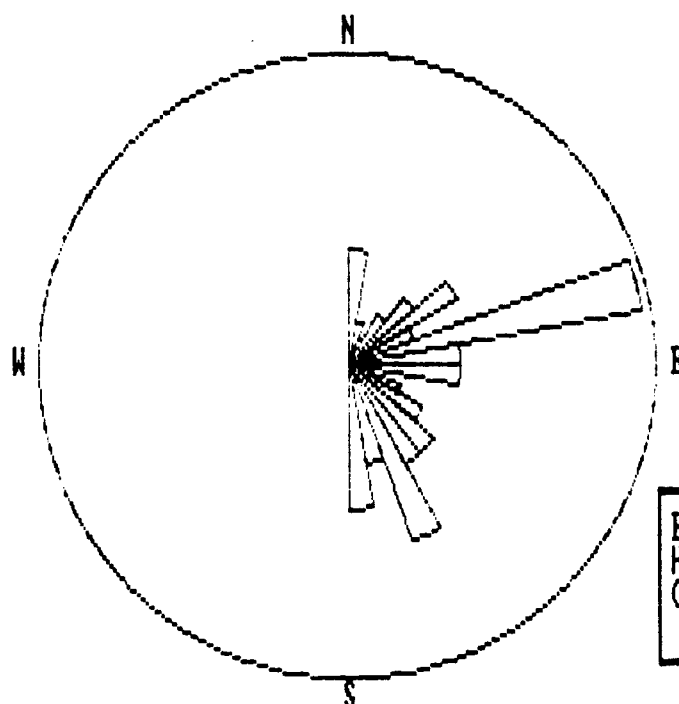


DERECHA: BUZ. NORTE
IZQUIERDA: BUZ. SUR

ESTACION N° 6

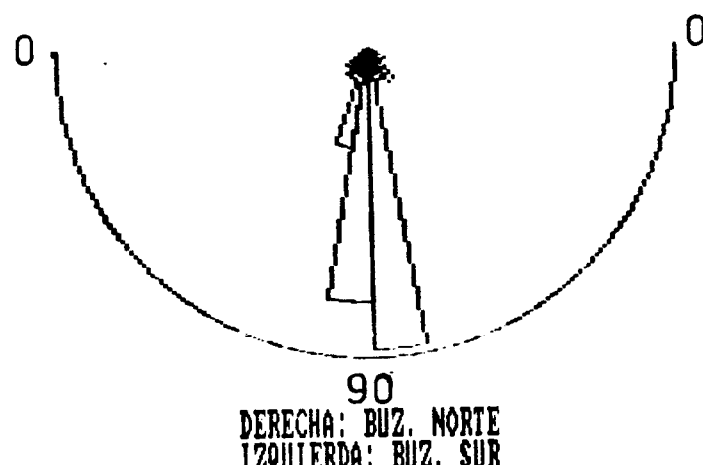
		INTERVALO	NUMERO DE MEDIDAS
1.	29		
2.	30		
3.	32		
4.	38		
5.	40		
6.	42		
7.	43		
8.	45		
9.	47		
10.	78		
11.	80		
12.	83		
13.	83	20 - 29	1
14.	85	30 - 39	3
15.	87	40 - 49	5
16.	89	70 - 79	1
17.	90	80 - 89	6
18.	92	90 - 99	5
19.	94	100 - 109	1
20.	95	110 - 119	6
21.	97	120 - 129	1
22.	109	130 - 139	2
23.	110	170 - 179	1
24.	110		
25.	112		
26.	113		
27.	113		
28.	117		
29.	128		
30.	130		
31.	132		
32.	175		

RELACION DE LAS DIRECCIONES
DE FRACTURAS Y DIACLASAS
ESTACION N° 6



INTERVALO	= 10
MAX. RADIAL	= 21
MEDIANA	= 90
MEDIA	= 98

ESTACION 7
HUEVA: C.C. 200 PK103,5
CALIZAS PARAMO SUPERIOR



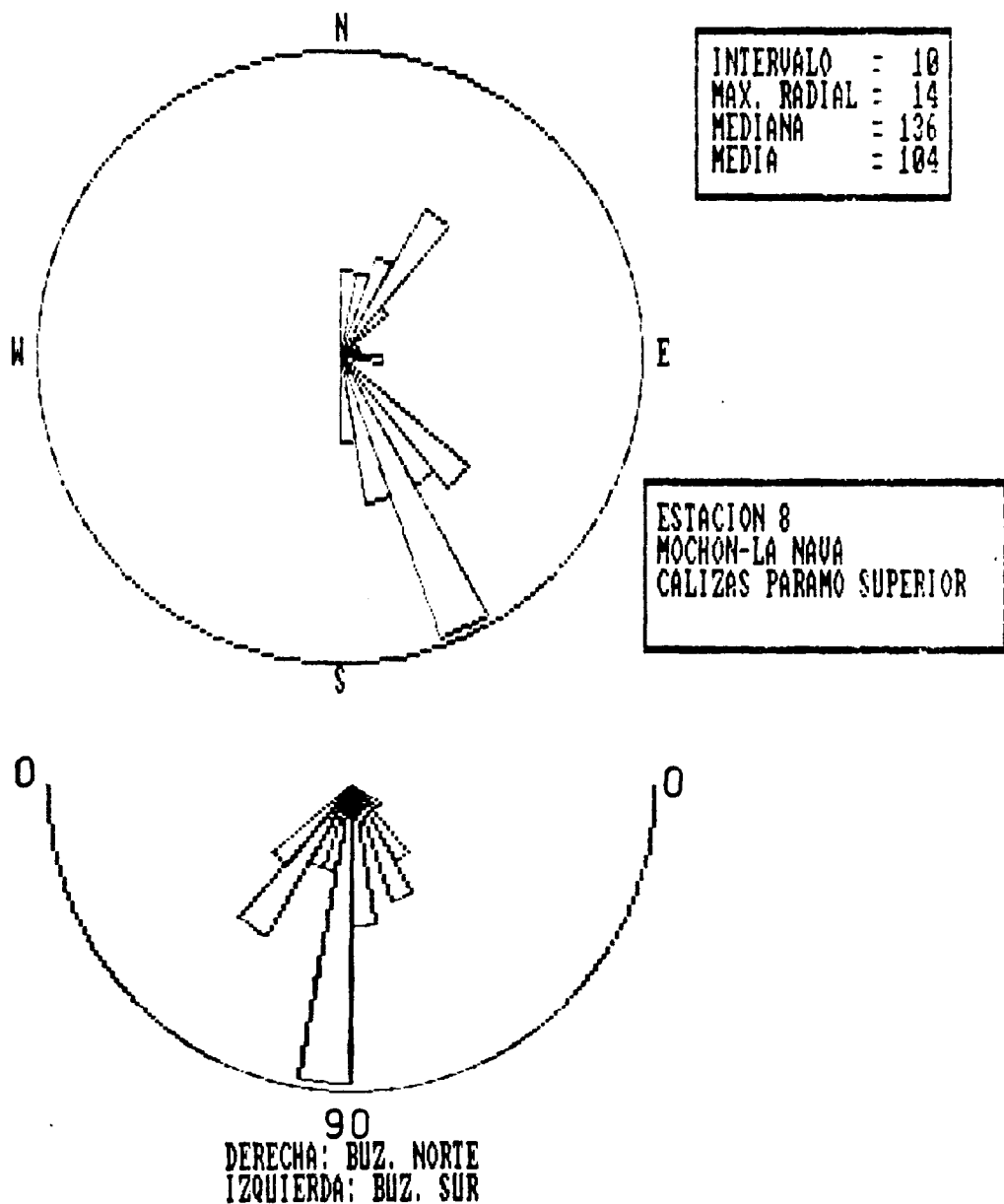
ESTACION Nº 7

					INTERVALO	NUMERO DE MEDIDAS
1.	1	56.	77	111.	155	
2.	4	57.	77	112.	155	
3.	5	58.	79	113.	156	
4.	5	59.	80	114.	157	
5.	5	60.	82	115.	157	
6.	6	61.	83	116.	163	
7.	7	62.	85	117.	165	
8.	8	63.	86	118.	165	
9.	11	64.	87	119.	166	
10.	13	65.	88	120.	167	
11.	14	66.	89	121.	168	
12.	29	67.	90	122.	169	
13.	29	68.	90	123.	170	
14.	30	69.	92	124.	170	
15.	33	70.	93	125.	172	
16.	34	71.	94	126.	173	
17.	39	72.	95	127.	173	
18.	40	73.	97	128.	175	
19.	43	74.	98	129.	175	
20.	47	75.	100	130.	177	
21.	49	76.	103	131.	177	
22.	49	77.	113	132.	179	
23.	49	78.	115			
24.	50	79.	117			
25.	50	80.	119			
26.	50	81.	120			
27.	51	82.	122			
28.	52	83.	123			
29.	53	84.	125			
30.	53	85.	126			
31.	58	86.	129	0	-	9
32.	59	87.	130	10	-	19
33.	60	88.	133	20	-	29
34.	63	89.	133	30	-	39
35.	68	90.	135	40	-	49
36.	69	91.	137	50	-	59
37.	69	92.	139	60	-	69
38.	70	93.	139	70	-	79
39.	70	94.	139	80	-	89
40.	70	95.	140	90	-	99
41.	70	96.	140	100	-	109
42.	71	97.	140	110	-	119
43.	72	98.	142	120	-	129
44.	73	99.	142	130	-	139
45.	73	100.	142	140	-	149
46.	73	101.	148	150	-	159
47.	73	102.	149	160	-	169
48.	73	103.	150	170	-	179
49.	73	104.	150			
50.	75	105.	152			
51.	75	106.	152			
52.	75	107.	153			
53.	75	108.	153			
54.	76	109.	153			
55.	76	110.	155			

RELACION DE LAS DIRECCIONES

DE FRACTURAS Y DIACLASAS

ESTACION N° 7

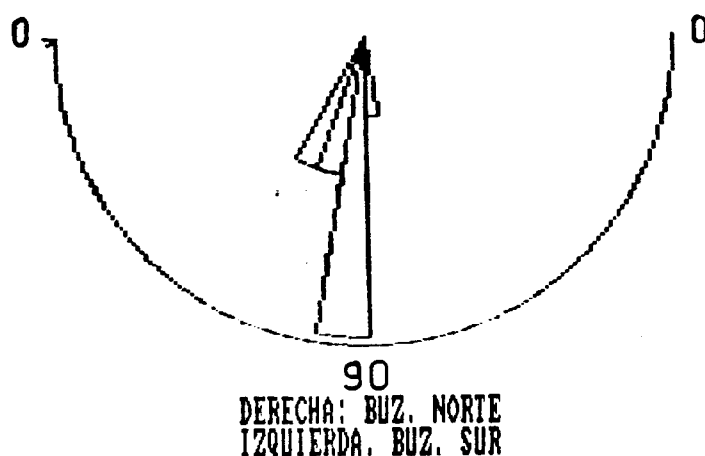
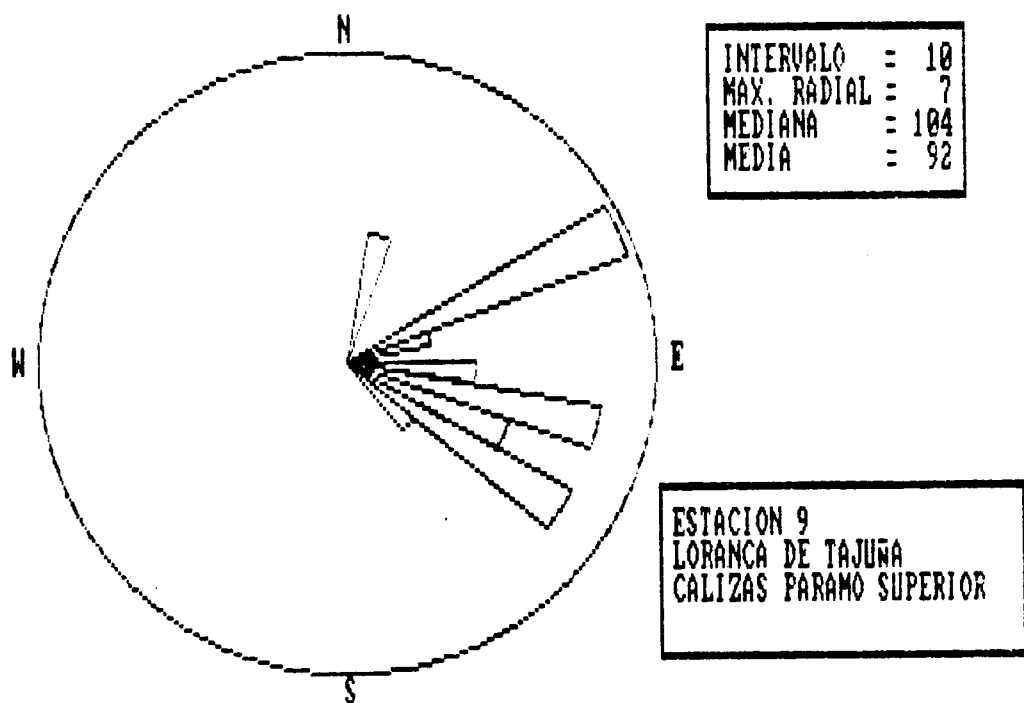


ESTACION N° 8

1.	3	56.	159	
2.	5	57.	160	
3.	7	58.	162	
4.	8	59.	163	
5.	10	60.	164	
6.	12	61.	166	
7.	18	62.	168	
8.	19	63.	169	
9.	20	64.	170	
10.	20	65.	172	
11.	21	66.	173	
12.	23	67.	173	
13.	27			
14.	30			
15.	33			
16.	33			
17.	34			
18.	35			
19.	35			
20.	37			
21.	37			
22.	45			
23.	47	INTERVALO	NUMERO DE MEDIDAS	
24.	48			
25.	78	0 - 9		4
26.	90	10 - 19		4
27.	93	20 - 29		5
28.	131	30 - 39		8
29.	132	40 - 49		3
30.	133	70 - 79		1
31.	134	90 - 99		2
32.	135	130 - 139		8
33.	135	140 - 149		7
34.	137	150 - 159		14
35.	138	160 - 169		7
36.	140	170 - 179		4
37.	140			
38.	142			
39.	143			
40.	145			
41.	147			
42.	148			
43.	150			
44.	153			
45.	153			
46.	153			
47.	153			
48.	155			
49.	155			
50.	155			
51.	156			
52.	157			
53.	157			
54.	157			
55.	158			

**RELACION DE LAS DIRECCIONES
DE FRACTURAS Y DIACLASAS**

ESTACION N° 8



ESTACION N° 9

		INTERVALO	NUMERO DE MEDIDAS
1.	15		
2.	17		
3.	18		
4.	60		
5.	63		
6.	63	10 - 19	3
7.	65	60 - 69	7
8.	67	70 - 79	2
9.	68	90 - 99	3
10.	68	100 - 109	6
11.	70	110 - 119	4
12.	73	120 - 129	6
13.	92	130 - 139	2
14.	93		
15.	95		
16.	103		
17.	105		
18.	106		
19.	108		
20.	108		
21.	109		
22.	110		
23.	110		
24.	111		
25.	118		
26.	120		
27.	122		
28.	127		
29.	127		
30.	128		
31.	129		
32.	131		
33.	133		

RELACION DE LAS DIRECCIONES

DE FRACTURAS Y DIACLASAS

ESTACION N° 9

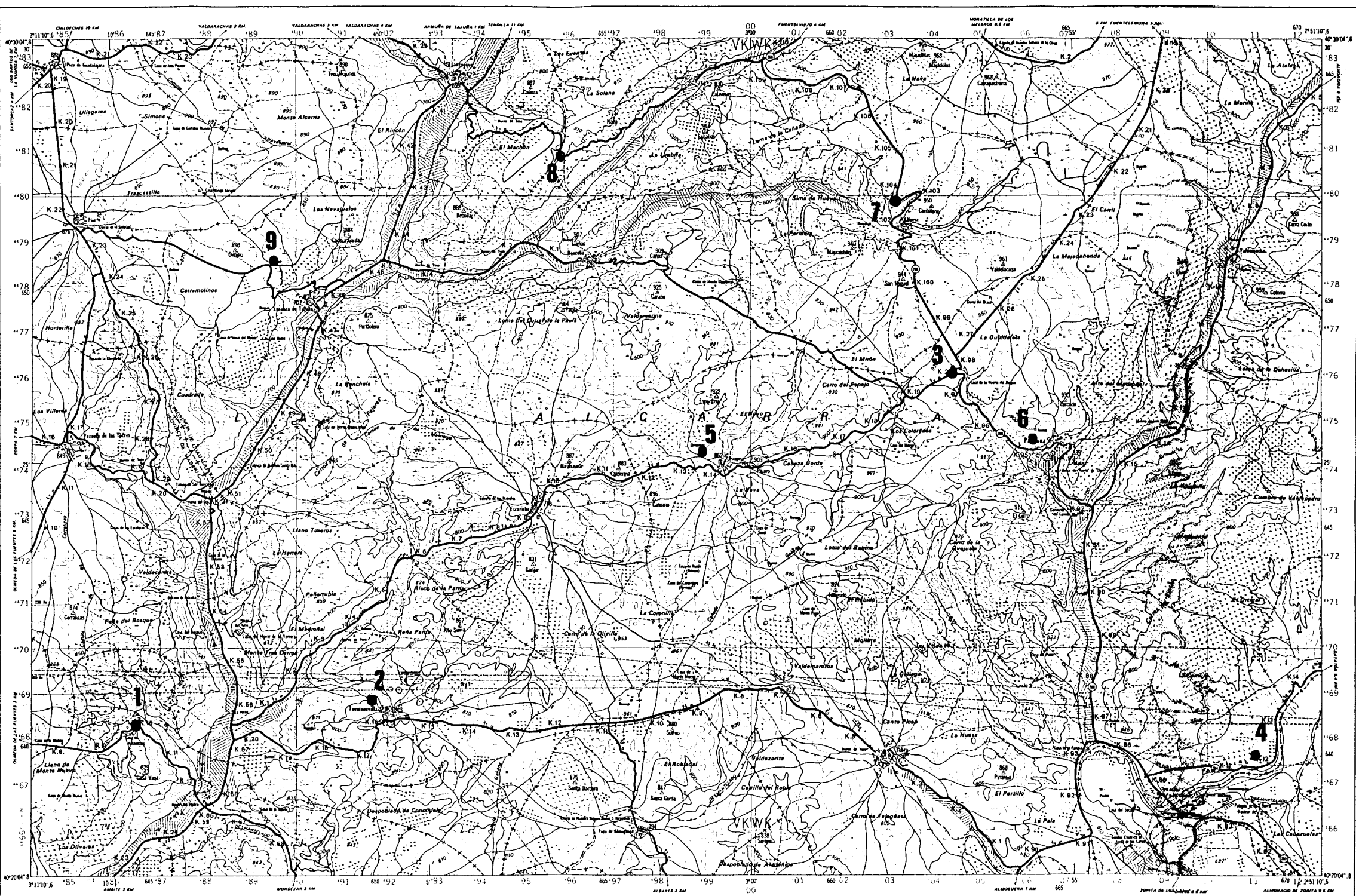
MAPA MILITAR DE ESPAÑA

E. 1:50.000

VÉRTICES			
Nombre	O	X	Y
Alto Sierra	3	493.596	4.470.479
Arancópiz	3	493.452	4.462.563
Catalos	3	499.004	4.461.593
Corral	3	493.459	4.461.593
Cerro Gordo	3	491.129	4.470.120
Cerro Gordo	3	497.881	4.473.203
Cerro Gordo	3	495.96	4.473.752
Cerro Gordo	3	496.675	4.472.241
Cerro Gordo	3	506.905	4.475.456
Cerro Gordo	2	485.165	4.470.965
Cerro Gordo	3	503.585	4.472.799
Escarache	3	495.338	4.473.258
Escozón	3	495.428	4.474.187
Escozón	3	495.428	4.474.257
Escozón	3	492.098	4.468.567
Escozón	3	495.192	4.471.843
Escozón	3	509.434	4.478.399
Escozón	3	505.539	4.467.244
Escozón	3	485.165	4.472.550
Escozón	3	490.215	4.477.543
Llorca	3	496.205	4.476.816
Monte Gordo	3	504.765	4.473.759
Nava	3	496.972	4.461.711
Olmedo	3	488.645	4.478.787
Pastrana	3	506.515	4.471.434
Pastrana	3	503.535	4.471.434
Penarrubia	3	505.539	4.467.244
Pozos	3	493.165	4.472.550
Puerto de Almoguera	3	484.770	4.463.022
Rebolledo	3	493.670	4.476.671
Serrera	3	503.348	4.473.136
Serrera	3	496.164	4.467.022
Serrera	3	500.157	4.462.548
Serrera	3	499.164	4.462.548
Serrera	3	501.851	4.471.250
Tres Majas	3	491.039	4.462.818
Ugíjar	3	509.528	4.479.450
Valdecañas	3	510.445	4.478.465
Yebra	3	502.946	4.467.566

PASTRANA

Copia de microfilmación para el Ejército 21775047 122

21-22
(561)

Prohibida la reproducción total o parcial. Depósito Legal M-44357 1989 NIPO 097-89-011-2

Formado por el Servicio Geográfico Ejército. Año 1973. 48 Edición. Publicado en el Año 1990

| M | 22 | 23 | 24 | 25 | 26 | 27 | 28 | 29 | 30 | 31 | 32 | 33 | 34 | 35 | 36 | 37 | 38 | 39 | 40 | 41 | 42 | 43 | 44 | 45 | 46 | 47 | 48 | 49 | 50 | 51 | 52 | 53 | 54 | 55 | 56 | 57 | 58 | 59 | 60 | 61 | 62 | 63 | 64 | 65 | 66 | 67 | 68 | 69 | 70 | 71 | 72 | 73 | 74 | 75 | 76 | 77 | 78 | 79 | 80 | 81 | 82 | 83 | 84 | 85 | 86 | 87 | 88 | 89 | 90 | 91 | 92 | 93 | 94 | 95 | 96 | 97 | 98 | 99 | 00 | 01 | 02 | 03 | 04 | 05 | 06 | 07 | 08 | 09 | 10 | 11 | 12 | 13 | 14 | 15 | 16 | 17 | 18 | 19 | 20 | 21 | 22 | 23 | 24 | 25 | 26 | 27 | 28 | 29 | 30 | 31 | 32 | 33 | 34 | 35 | 36 | 37 | 38 | 39 | 40 | 41 | 42 | 43 | 44 | 45 | 46 | 47 | 48 | 49 | 50 | 51 | 52 | 53 | 54 | 55 | 56 | 57 | 58 | 59 | 60 | 61 | 62 | 63 | 64 | 65 | 66 | 67 | 68 | 69 | 70 | 71 | 72 | 73 | 74 | 75 | 76 | 77 | 78 | 79 | 80 | 81 | 82 | 83 | 84 | 85 | 86 | 87 | 88 | 89 | 90 | 91 | 92 | 93 | 94 | 95 | 96 | 97 | 98 | 99 | 00 | 01 | 02 | 03 | 04 | 05 | 06 | 07 | 08 | 09 | 10 | 11 | 12 | 13 | 14 | 15 | 16 | 17 | 18 | 19 | 20 | 21 | 22 | 23 | 24 | 25 | 26 | 27 | 28 | 29 | 30 | 31 | 32 | 33 | 34 | 35 | 36 | 37 | 38 | 39 | 40 | 41 | 42 | 43 | 44 | 45 | 46 | 47 | 48 | 49 | 50 | 51 | 52 | 53 | 54 | 55 | 56 | 57 | 58 | 59 | 60 | 61 | 62 | 63 | 64 | 65 | 66 | 67 | 68 | 69 | 70 | 71 | 72 | 73 | 74 | 75 | 76 | 77 | 78 | 79 | 80 | 81 | 82 | 83 | 84 | 85 | 86 | 87 | 88 | 89 | 90 | 91 | 92 | 93 | 94 | 95 | 96 | 97 | 98 | 99 | 00 | 01 | 02 | 03 | 04 | 05 | 06 | 07 | 08 | 09 | 10 | 11 | 12 | 13 | 14 | 15 | 16 | 17 | 18 | 19 | 20 | 21 | 22 | 23 | 24 | 25 | 26 | 27 | 28 | 29 | 30 | 31 | 32 | 33 | 34 | 35 | 36 | 37 | 38 | 39 | 40 | 41 | 42 | 43 | 44 | 45 | 46 | 47 | 48 | 49 | 50 | 51 | 52 | 53 | 54 | 55 | 56 | 57 | 58 | 59 | 60 | 61 | 62 | 63 | 64 | 65 | 66 | 67 | 68 | 69 | 70 | 71 | 72 | 73 | 74 | 75 | 76 | 77 | 78 | 79 | 80 | 81 | 82 | 83 | 84 | 85 | 86 | 87 | 88 | 89 | 90 | 91 | 92 | 93 | 94 | 95 | 96 | 97 | 98 | 99 | 00 | 01 | 02 | 03 | 04 | 05 | 06 | 07 | 08 | 09 | 10 | 11 | 12 | 13 | 14 | 15 | 16 | 17 | 18 | 19 | 20 | 21 | 22 | 23 | 24 | 25 | 26 | 27 | 28 | 29 | 30 | 31 | 32 | 33 | 34 | 35 | 36 | 37 | 38 | 39 | 40 | 41 | 42 | 43 | 44 | 45 | 46 | 47 | 48 | 49 | 50 | 51 | 52 | 53 | 54 | 55 | 56 | 57 | 58 | 59 | 60 | 61 | 62 | 63 | 64 | 65 | 66 | 67 | 68 | 69 | 70 | 71 | 72 | 73 | 74 | 75 | 76 | 77 | 78 | 79 | 80 | 81 | 82 | 83 | 84 | 85 | 86 | 87 | 88 | 89 | 90 | 91 | 92 | 93 | 94 | 95 | 96 | 97 | 98 | 99 | 00 | 01 | 02 | 03 | 04 | 05 | 06 | 07 | 08 | 09 | 10 | 11 | 12 | 13 | 14 | 15 | 16 | 17 | 18 | 19 | 20 | 21 | 22 | 23 | 24 | 25 | 26 | 27 | 28 | 29 | 30 | 31 | 32 | 33 | 34 | 35 | 36 | 37 | 38 | 39 | 40 | 41 | 42 | 43 | 44 | 45 | 46 | 47 | 48 | 49 | 50 | 51 | 52 | 53 | 54 | 55 | 56 | 57 | 58 | 59 | 60 | 61 | 62 | 63 | 64 | 65 | 66 | 67 | 68 | 69 | 70 | 71 | 72 | 73 | 74 | 75 | 76 | 77 | 78 | 79 | 80 | 81 | 82 | 83 | 84 | 85 | 86 | 87 | 88 | 89 | 90 | 91 | 92 | 93 | 94 | 95 | 96 | 97 | 98 | 99 | 00 | 01 | 02 | 03 | 04 | 05 | 06 | 07 | 08 | 09 | 10 | 11 | 12 | 13 | 14 | 15 | 16 | 17 | 18 | 19 | 20 | 21 | 22 | 23 | 24 | 25 | 26 | 27 | 28 | 29 | 30 | 31 | 32 | 33 | 34 | 35 | 36 | 37 | 38 | 39 | 40 | 41 | 42 | 43 | 44 | 45 | 46 | 47 | 48 | 49 | 50 | 51 | 52 | 53 | 54 | 55 | 56 | 57 | 58 | 59 | 60 | 61 | 62 | 63 | 64 | 65 | 66 | 67 | 68 | 69 | 70 | 71 | 72 | 73 | 74 | 75 | 76 | 77 | 78 | 79 | 80 | 81 | 82 | 83 | 84 | 85 | 86 | 87 | 88 | 89 | 90 | 91 | 92 | 93 | 94 | 95 | 96 | 97 | 98 | 99 | 00 | 01 | 02 | 03 | 04 | 05 | 06 | 07 | 08 | 09 | 10 | 11 | 12 | 13 | 14 | 15 | 16 | 17 | 18 | 19 | 20 | 21 | 22 | 23 | 24 | 25 | 26 | 27 | 28 | 29 | 30 | 31 | 32 | 33 | 34 | 35 | 36 | 37 | 38 | 39 | 40 | 41 | 42 | 43 | 44 | 45 | 46 | 47 | 48 | 49 | 50 |
<th
| --- | --- | --- | --- | --- | --- | --- | --- | --- | --- | --- | --- | --- | --- | --- | --- | --- | --- | --- | --- | --- | --- | --- | --- | --- | --- | --- | --- | --- | --- | --- | --- | --- | --- | --- | --- | --- | --- | --- | --- | --- | --- | --- | --- | --- | --- | --- | --- | --- | --- | --- | --- | --- | --- | --- | --- | --- | --- | --- | --- | --- | --- | --- | --- | --- | --- | --- | --- | --- | --- | --- | --- | --- | --- | --- | --- | --- | --- | --- | --- | --- | --- | --- | --- | --- | --- | --- | --- | --- | --- | --- | --- | --- | --- | --- | --- | --- | --- | --- | --- | --- | --- | --- | --- | --- | --- | --- | --- | --- | --- | --- | --- | --- | --- | --- | --- | --- | --- | --- | --- | --- | --- | --- | --- | --- | --- | --- | --- | --- | --- | --- | --- | --- | --- | --- | --- | --- | --- | --- | --- | --- | --- | --- | --- | --- | --- | --- | --- | --- | --- | --- | --- | --- | --- | --- | --- | --- | --- | --- | --- | --- | --- | --- | --- | --- | --- | --- | --- | --- | --- | --- | --- | --- | --- | --- | --- | --- | --- | --- | --- | --- | --- | --- | --- | --- | --- | --- | --- | --- | --- | --- | --- | --- | --- | --- | --- | --- | --- | --- | --- | --- | --- | --- | --- | --- | --- | --- | --- | --- | --- | --- | --- | --- | --- | --- | --- | --- | --- | --- | --- | --- | --- | --- | --- | --- | --- | --- | --- | --- | --- | --- | --- | --- | --- | --- | --- | --- | --- | --- | --- | --- | --- | --- | --- | --- | --- | --- | --- | --- | --- | --- | --- | --- | --- | --- | --- | --- | --- | --- | --- | --- | --- | --- | --- | --- | --- | --- | --- | --- | --- | --- | --- | --- | --- | --- | --- | --- | --- | --- | --- | --- | --- | --- | --- | --- | --- | --- | --- | --- | --- | --- | --- | --- | --- | --- | --- | --- | --- | --- | --- | --- | --- | --- | --- | --- | --- | --- | --- | --- | --- | --- | --- | --- | --- | --- | --- | --- | --- | --- | --- | --- | --- | --- | --- | --- | --- | --- | --- | --- | --- | --- | --- | --- | --- | --- | --- | --- | --- | --- | --- | --- | --- | --- | --- | --- | --- | --- | --- | --- | --- | --- | --- | --- | --- | --- | --- | --- | --- | --- | --- | --- | --- | --- | --- | --- | --- | --- | --- | --- | --- | --- | --- | --- | --- | --- | --- | --- | --- | --- | --- | --- | --- | --- | --- | --- | --- | --- | --- | --- | --- | --- | --- | --- | --- | --- | --- | --- | --- | --- | --- | --- | --- | --- | --- | --- | --- | --- | --- | --- | --- | --- | --- | --- | --- | --- | --- | --- | --- | --- | --- | --- | --- | --- | --- | --- | --- | --- | --- | --- | --- | --- | --- | --- | --- | --- | --- | --- | --- | --- | --- | --- | --- | --- | --- | --- | --- | --- | --- | --- | --- | --- | --- | --- | --- | --- | --- | --- | --- | --- | --- | --- | --- | --- | --- | --- | --- | --- | --- | --- | --- | --- | --- | --- | --- | --- | --- | --- | --- | --- | --- | --- | --- | --- | --- | --- | --- | --- | --- | --- | --- | --- | --- | --- | --- | --- | --- | --- | --- | --- | --- | --- | --- | --- | --- | --- | --- | --- | --- | --- | --- | --- | --- | --- | --- | --- | --- | --- | --- | --- | --- | --- | --- | --- | --- | --- | --- | --- | --- | --- | --- | --- | --- | --- | --- | --- | --- | --- | --- | --- | --- | --- | --- | --- | --- | --- | --- | --- | --- | --- | --- | --- | --- | --- | --- | --- | --- | --- | --- | --- | --- | --- | --- | --- | --- | --- | --- | --- | --- | --- | --- | --- | --- | --- | --- | --- | --- | --- | --- | --- | --- | --- | --- | --- | --- | --- | --- | --- | --- | --- | --- | --- | --- | --- | --- | --- | --- | --- | --- | --- | --- | --- | --- | --- | --- | --- | --- | --- | --- | --- | --- | --- | --- | --- | --- | --- | --- | --- | --- | --- | --- | --- | --- | --- | --- | --- | --- | --- | --- | --- | --- | --- | --- | --- | --- | --- | --- | --- | --- | --- | --- | --- | --- | --- | --- | --- | --- | --- | --- | --- | --- | --- | --- | --- | --- | --- | --- | --- | --- | --- | --- | --- | --- | --- | --- | --- | --- | --- | --- | --- | --- | --- | --- | --- | --- | --- | --- | --- | --- | --- | --- | --- | --- | --- | --- | --- | --- | --- | --- | --- | --- | --- | --- | --- | --- | --- | --- | --- | --- | --- | --- | --- | --- | --- | --- | --- | --- | --- | --- | --- | --- | --- | --- | --- | --- | --- | --- | --- | --- | --- | --- | --- | --- | --- | --- | --- | --- | --- | --- | --- | --- |